

Reporte Desmielinizantes

Paciente

Juana Perez

ID de Paciente

7905c24 ... 0f4fef8

Nombre del estudio

-

Fecha del estudio

07/09/2021

Edad

38

Género

F

Nombre estudio previo

-

Fecha estudio previo

21/09/2020

Este estudio se analizó utilizando un sistema de inteligencia artificial. Se observaron los siguientes hallazgos para revisión por el especialista:

DETECCIÓN DE LESIONES

Se detectan 85 lesiones hiperintensas en la secuencia FLAIR a nivel de la sustancia blanca (volumen 13.40 cm3). Se detectan 81 lesiones estables/decrecientes y 4 lesiones nuevas/crecientes.

VOLUMETRÍA

El valor global de FPC se encuentra dentro del rango normal ajustado por edad. El volumen de sustancia blanca del hemisferio cerebral derecho se encuentra por debajo del percentil 5% para el grupo etario.

El volumen de las siguientes áreas subcorticales se encuentra por debajo del percentil 5% para el grupo etario: Tálamo izquierdo, Pálido izquierdo y Tálamo derecho

HIPOCAMPOS

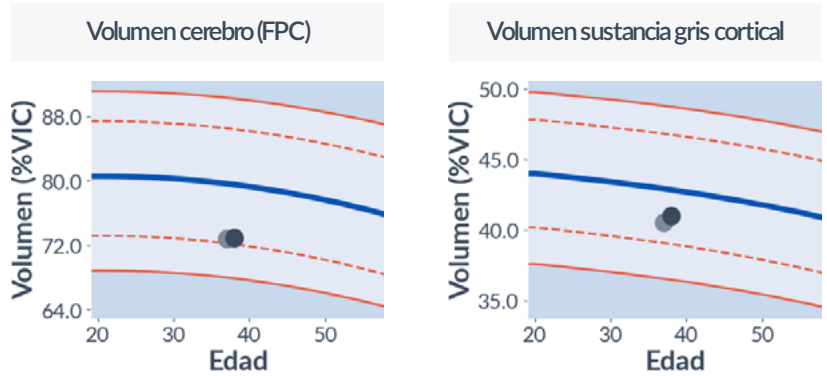
El volumen de ambos hipocampos se encuentra dentro del rango normal ajustado por edad.

SISTEMA VENTRICULAR

El volumen del sistema ventricular se encuentra por encima del percentil 95% para el grupo etario.

TRONCO ENCEFÁLICO

El volumen del tronco encefálico se encuentra dentro del rango normal ajustado por edad. El volumen del cerebelo se encuentra dentro del rango normal ajustado por edad.



Segmentación de tejidos y áreas



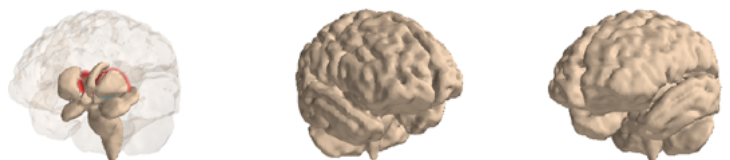
Lesiones hiperintensas FLAIR



■ Lesiones estables/decrecientes

■ Lesiones nuevas/crecientes

Mapa de calor de volumen según área



■ Área a revisar

■ Área posiblemente atrófica

Paciente
Juana Perez

ID de Paciente
7905c24 ... Of4fef8

Nombre del estudio
-

Fecha del estudio
07/09/2021

Edad
38

Género
F

Nombre estudio previo
-

Fecha estudio previo
21/09/2020

ANÁLISIS VOLUMÉTRICO DE LESIONES

Cuantificación de lesiones hiperintensas en FLAIR

	Estudio anterior	Estudio actual
Hiperintensas en FLAIR (cm3)	11.54	13.40 ↑
Hiperintensas en FLAIR (%VIC)	0.78 %	0.91 %
Número de lesiones totales (≥ 3mm de diámetro)	78	85
<i>Lesiones estables/decrecientes</i>	-	81
<i>Lesiones nuevas/crecientes</i>	-	4

VOLUMEN SEGÚN ESTRUCTURAS

Estructura	Volumen en cm3	Volumen en %VIC	Rango normal ajustado por edad según %VIC	Percentilo normativo	Cambio de percentilo	Tasa de cambio anualizada
------------	----------------	-----------------	---	----------------------	----------------------	---------------------------

VOLÚMENES GLOBALES

Parénquima Cerebral	1,074	72.90%	(67.87 - 90.17)	8.5	1.10 pp	0.19%
Liq. cefalorraquídeo	410	27.82%	(14.20 - 58.15)	95.0	3.50 pp	5.15%
Sust. gris	604	41.01%	(36.46 - 48.72)	22.3	4.80 pp	1.26%
Sust. blanca	470	31.89%	(29.53 - 43.48)	4.7	-1.20 pp	-1.15%
Sust. blanca hem. izq.	216	14.66%	(13.24 - 19.84)	8.7	-3.90 pp	-1.72%
Sust. blanca hem. der.	213	14.45%	(13.33 - 19.74)	5.0	-0.80 pp	-0.55%

ESTR. SUBCORTICALES

Amígdala izquierda	2.08	0.14%	(0.09 - 0.15)	95.5	14.40 pp	7.35%
Amígdala derecha	1.93	0.13%	(0.10 - 0.16)	58.0	55.50 pp	31.15%
Caudado izquierdo	2.96	0.20%	(0.14 - 0.30)	33.8	-5.10 pp	-2.17%
Caudado derecho	3.24	0.22%	(0.15 - 0.31)	47.3	6.00 pp	2.45%
Pálido izquierdo	1.66	0.11%	(0.10 - 0.18)	4.2	-3.90 pp	-4.81%
Pálido derecho	1.78	0.12%	(0.10 - 0.17)	20.0	12.20 pp	6.74%
Putamen izquierdo	4.22	0.29%	(0.21 - 0.42)	21.6	0.50 pp	0.43%
Putamen derecho	4.55	0.31%	(0.23 - 0.42)	43.6	38.70 pp	21.86%
Tálamo izquierdo	4.78	0.32%	(0.40 - 0.63)	< 1	0.00 pp	-0.27%
Tálamo derecho	4.71	0.32%	(0.39 - 0.60)	< 1	0.00 pp	-12.27%

SISTEMA VENTRICULAR

Ventrículo (4to)	2.43	0.16%	(0.03 - 0.20)	96.1	-0.70 pp	-4.75%
Ventrículos supratentoriales	40.6	2.75%	(0.20 - 3.02)	98.1	0.20 pp	3.14%

ESTR. INFRATENTORIALES

Sust. blanca cerebelo izq.	12.2	0.82%	(0.76 - 1.48)	5.4	3.70 pp	7.68%
----------------------------	------	-------	-----------------	-----	---------	-------

Paciente
Juana Perez

ID de Paciente
7905c24 ... 0f4fef8

Nombre del estudio
-

Fecha del estudio
07/09/2021

Edad
38

Género
F

Nombre estudio previo
-

Fecha estudio previo
21/09/2020

VOLUMEN SEGÚN ESTRUCTURAS

Estructura	Volumen en cm3	Volumen en %VIC	Rango normal ajustado por edad según %VIC	Percentilo normativo	Cambio de percentilo	Tasa de cambio anualizada
Sust. blanca cerebelo der.	10.2	0.69%	(0.73 - 1.45)	< 1	-3.40 pp	-15.04% ↓
Sust. gris cerebelo izq.	55.3	3.75%	(2.92 - 4.46)	55.6	5.10 pp	1.00%
Sust. gris cerebelo der.	56.4	3.83%	(2.87 - 4.49)	60.5	15.10 pp	3.44%
Tronco encefálico	18.7	1.27%	(1.16 - 1.78)	10.6	4.40 pp	2.27%
ÁREAS CORTICALES						
Corteza frontal	145	9.81%	(9.02 - 12.65)	17.1	-3.50 pp	-1.64%
Corteza frontal izquierda	72.8	4.94%	(4.50 - 6.27)	18.5	-3.30 pp	-1.50%
Corteza frontal derecha	71.8	4.87%	(4.47 - 6.32)	16.3	-4.10 pp	-1.77%
Corteza insular	10.1	0.69%	(0.62 - 0.96)	9.0	5.80 pp	6.03%
Corteza insular izquierda	5.06	0.34%	(0.30 - 0.48)	12.6	11.30 pp	13.84%
Corteza insular derecha	5.08	0.34%	(0.31 - 0.49)	6.0	-1.00 pp	-0.79%
Corteza occipital	55.2	3.75%	(2.66 - 4.16)	86.7	3.00 pp	1.51%
Corteza occipital izquierda	27.0	1.83%	(1.32 - 2.07)	81.6	4.80 pp	2.44%
Corteza occipital derecha	28.3	1.92%	(1.30 - 2.11)	89.4	0.90 pp	0.65%
Corteza parietal	131	8.92%	(7.67 - 11.07)	30.5	7.00 pp	1.64%
Corteza parietal izquierda	67.7	4.59%	(3.79 - 5.51)	49.6	17.70 pp	3.65%
Corteza parietal derecha	63.8	4.33%	(3.82 - 5.55)	17.5	-0.60 pp	-0.41%
Corteza temporal	103	6.96%	(6.35 - 8.76)	14.9	9.20 pp	3.50%
Corteza temporal izquierda	50.7	3.44%	(3.22 - 4.46)	9.1	4.40 pp	1.75%
Corteza temporal derecha	52.0	3.52%	(3.05 - 4.33)	19.6	12.50 pp	5.27%
Hipocampo izquierdo	4.33	0.29%	(0.23 - 0.34)	71.6	6.00 pp	1.50%
Hipocampo derecho	4.07	0.28%	(0.23 - 0.35)	28.4	-7.20 pp	-1.60%

Aclaraciones para el médico

Abreviaturas: VIC (Volumen Intracraneal)

Los rangos normales corresponden a los valores contenidos entre el percentil 1% y el 99%. Se destacan con **negrita** las áreas que se encuentren por debajo del límite inferior (superior en el caso del sistema ventricular).

↓ La disminución anual del volumen de esta área es mayor a la esperada para el rango etario (excepto las estructuras subcorticales)

↑ El aumento anual del volumen de esta área es mayor a la esperada para el rango etario (excepto las estructuras subcorticales)